

## (151) 鋳型／鋳片間の潤滑に関する定量的解析

(連続鋳造の鋳型／鋳片間潤滑 - III)

日本钢管株式会社技術研究所 ○水上秀昭 北川 融 工博 川上公成

**1. 緒 言** 近年、連続鋳造においては、生産性の向上、省エネルギーの面から鋳造速度の高速化が進められている。一方、高速鋳造下では鋳型／鋳片間のパウダー潤滑が低下し、鋳型内で鋳片が拘束される現象が問題となる。今回、鋳型／鋳片間潤滑に関して定量的解析を行ない、潤滑改善に及ぼす操業要因の影響について検討したので報告する。

**2. 解析手法** 鋳型／鋳片間のパウダー膜厚( $d_f$ )を鋳造条件(速度;  $V_c$ , 振巾;  $A$ , 振動数;  $f$ , パウダー特性;  $a$ )より求まる単位面積当たりのパウダーフlux量,  $Q$ (1式)<sup>1)</sup>を用いて計算する。次に鋳型内の熱流束データから、凝固シェル／銅鋳型間の温度分布を計算し、シェル表面温度( $T_1$ ), 鋳型側パウダー温度( $T_2$ )を求める。この $T_1$ ,  $T_2$ およびパウダーの溶融温度( $T_F$ )から鋳型／鋳片間の溶融パウダーハイド( $d_f$ )が計算できる(Fig.1)。鋳型／鋳片間のすべりが液体パウダー内で起こる、すなわち液体潤滑が支配的<sup>2)</sup>と仮定すると、鋳型／鋳片間の摩擦力,  $F'(g/cm^2)$ は(2)式で求められる。ここで $\eta$ は溶融パウダーの粘性、 $V_m$ は鋳型振動速度である。

**3. 計算結果** メニスカスから高さ方向の任意の位置( $Z$ )における引張時の摩擦力( $F_p$ )の鋳造速度依存性をFig.2に示した。鋳型上部( $Z \leq 40 cm$ )で鋳造速度の上昇により $F_p$ が増加するが、これはパウダーフlux量,  $Q$ の減少による。鋳型下部( $Z \geq 50 cm$ )で低速度領域で速度低下により $F_p$ が逆に増加するが、これは鋳片表面温度の低下により $d_f$ が減少するためである。鋳型内全摩擦力,  $F$ (kg)はF'の鋳型内積分値で与えられる。引張時の摩擦力 $F_p$ の計算値を5TON試験

連鉄機<sup>3)</sup>での実測値と比較すると両者は良く一致した(Fig.3)。また $F_p$ の速度依存性(Fig.4)から $V_c = 0.8 m/min$ で摩擦力が極小値をとる傾向が認められた。<sup>4)</sup>

**4. 応 用** 本解析モデルをもとに高速鋳造時潤滑改善のための操業条件について検討した。 $F_p$ に及ぼす鋳型振動条件、パウダー物性の影響をそれぞれFig.4, 5に示した。潤滑改善には振動の低ネガティブストリップ化および、低融点、低粘性パウダーの使用が有効であると推定された。

&lt;文献&gt; 1)川上ら: 鉄と鋼67(1981) p1190

2)大宮ら: 鉄と鋼68(1982) S 926 3)水上ら:

鉄と鋼69(1983) S 1032, 4)B.MAIRY et al.:

Stahl und Eisen 99(1979) 4, p737

$$Q(kg/m^2) = \frac{a}{V_c} \cos^{-1} \left( -\frac{V_c}{2\pi A f} \right) \dots\dots(1)$$

$$F'(g/cm^2) = \eta \cdot \frac{V_m - V_c}{d_f} \dots\dots(2)$$

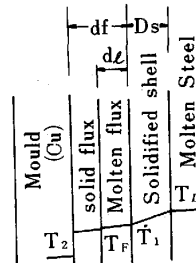


Fig. 1 Temperature distribution between molten steel and copper mould.

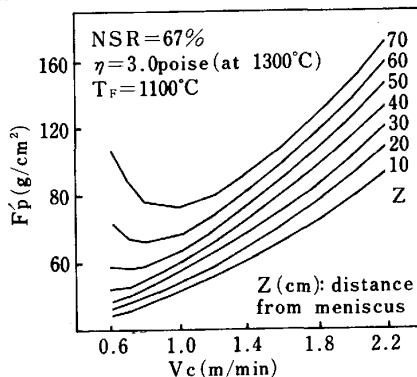
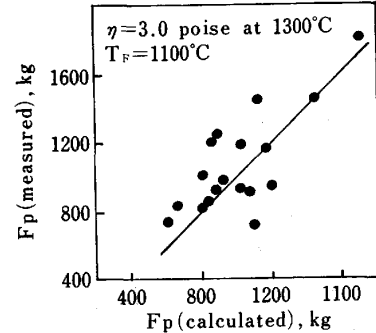
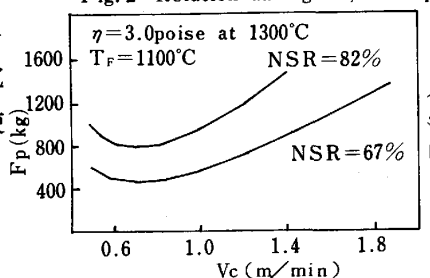
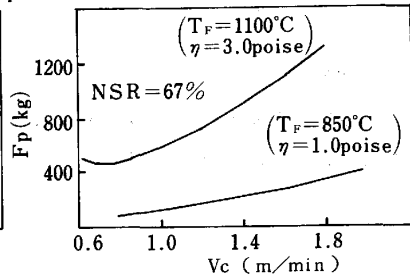
Fig. 2 Relation among  $V_c$ ,  $Z$  and  $F_p$ .

Fig. 3 Comparison of measured values with calculated values.

Fig. 4 Relation among  $F_p$ ,  $V_c$  and NSR.Fig. 5 Effect of properties of mould powder on  $F_p$ .